

УДК 533.6.011.6

**РАСЧЕТ ПОГРАНИЧНОГО СЛОЯ ПРОЗРАЧНОГО ГАЗА
НА ИЗЛУЧАЮЩЕЙ ПОВЕРХНОСТИ**

В. В. ИВАНОВ, И. Л. ДУНИН, Г. Г. МЕДВЕДЕВ

(Новосибирск)

Исследуется процесс переноса тепла в ламинарном пограничном слое прозрачного газа, обтекающего излучающую плоскую поверхность.

Процессы радиационного теплообмена в газах можно подразделить на две основные группы. К первой относится перенос тепла в поглощающих и излучающих средах. В этом случае влияние излучения связано с появлением в уравнении энергии дополнительных слагаемых, имеющих смысл внутренних источников и стоков тепла. Вторая группа охватывает процессы теплообмена в прозрачном газе, когда влияние излучения на конвекцию проявляется лишь через граничные условия.

В этой статье исследуется практически важный случай, относящийся ко второй группе: перенос тепла в ламинарном пограничном слое прозрачного газа, обтекающего плоскую пластину с заданным на ее поверхности тепловым потоком q_w .

Применительно к рассматриваемому движению уравнения пограничного слоя имеют вид

$$\begin{aligned} \frac{\partial \rho u}{\partial x} + \frac{\partial \rho v}{\partial y} &= 0 \\ \rho u \frac{\partial u}{\partial x} + \rho v \frac{\partial u}{\partial y} &= \frac{\partial}{\partial y} \left(\mu \frac{\partial u}{\partial y} \right) \\ \rho C_p u \frac{\partial T}{\partial x} + \rho C_p v \frac{\partial T}{\partial y} &= \frac{\partial}{\partial y} \left(\lambda \frac{\partial T}{\partial y} \right) \quad (1) \\ u = v = 0, \quad \frac{\partial T}{\partial y} &= -\frac{q_w}{\lambda} + \frac{\varepsilon \sigma_0}{\lambda} (T^4 - T_\infty^4), \quad y = 0 \\ u = U_\infty, \quad T &= T_\infty, \quad y \rightarrow \infty \end{aligned}$$

Далее принимаем, что изменения физических свойств среды подчиняются следующим характерным для газов соотношениям [1]:

$$\rho \mu = \text{const}, \quad \rho \lambda = \text{const}, \quad C_p = \text{const}$$

Использование преобразования Хоупарта

$$\frac{\partial Y}{\partial y} = \frac{\rho}{\rho_\infty}, \quad U = \frac{\partial \psi}{\partial Y}, \quad V = -\frac{\partial \psi}{\partial x}$$

позволяет решать тепловую часть задачи (1) автономно. Вводя безразмерную температуру $\theta = T / T_\infty$, будем иметь

$$U \frac{\partial \theta}{\partial x} + V \frac{\partial \theta}{\partial Y} = a_\infty \frac{\partial^2 \theta}{\partial Y^2} \quad (2)$$

$$\frac{\partial \theta}{\partial \eta} = \frac{S_x}{\gamma R e_x} (\theta^4 - \theta_*^4), \quad \eta = 0 \quad (3)$$

$$\theta = 1, \quad \eta \rightarrow \infty \quad (4)$$

Здесь

$$\theta_* = \frac{1}{T_\infty} \left(T_\infty^4 + \frac{q_w}{\varepsilon \sigma_0} \right)^{1/4}, \quad \eta = \frac{Y}{x} \sqrt{\text{Re}_x}$$

$$S_x = \frac{\varepsilon \sigma_0 T_\infty^3 x}{\lambda_\infty}, \quad \text{Re}_x = \frac{U_\infty x}{v_\infty}$$

Из-за нелинейности граничного условия (3), выраженного законом Стефана — Больцмана, решение системы (2) — (4) связано с большими трудностями. В настоящее время известны только некоторые значения поверхностных температур, полученных на основе численных схем с использованием ЭЦВМ [2].

В [3] дан общий аналитический метод решения инженерных задач переноса с различными нелинейными краевыми условиями, который, как будет показано ниже, можно с успехом обобщить и для расчета теплообмена в пограничном слое. Вводя линеаризующее преобразование

$$Z(x, Y) = \frac{\ln W(x, Y)}{-p} = \int_0^\theta \frac{d\theta(x, Y)}{\theta_*^4 - \theta^4(x, Y)} =$$

$$= \frac{1}{2\theta_*^3} \left(\text{Ar th} \frac{\theta}{\theta_*} + \arctg \frac{\theta}{\theta_*} \right) \quad (5)$$

в котором p — параметр, получим

$$U \frac{\partial W}{\partial x} + V \frac{\partial W}{\partial Y} = a_\infty \left[\frac{\partial^2 W}{\partial Y^2} + F(x, Y) \right] \quad (6)$$

$$F(x, Y) = pW \left(\frac{\partial \theta / \partial Y}{\theta_*^4 - \theta^4} \right)^2 (4\theta^3 - p) \quad (7)$$

$$\frac{\partial W}{\partial \eta} = - \frac{S_x}{\sqrt{\text{Re}_x}} W, \quad \eta = 0 \quad (8)$$

$$W = \exp - \frac{p}{2\theta_*^3} \left(\text{Ar th} \frac{1}{\theta_*} + \arctg \frac{1}{\theta_*} \right) = W_\infty, \quad \eta \rightarrow \infty \quad (9)$$

В результате такой замены потенциала переноса интегральным соотношением (5) нелинейное краевое условие (3) переходит в обычное линейное условие третьего рода (8). Вместе с тем в основном дифференциальном уравнении (6) появляется нелинейный источник (7), который легко минимизируется при помощи корректирующего параметра p , входящего в преобразующую функцию.

Искомая температура θ в процессе нагрева меняется от 1 до θ_* . Если этот интервал не слишком велик, то минимизация нелинейного слагаемого (7) обеспечивается условием

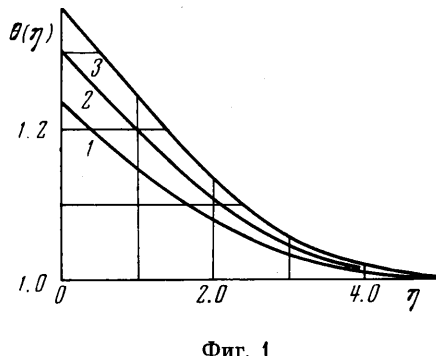
$$p = 4 \left(\frac{1 + \theta_*}{2} \right)^3 \quad (10)$$

При расчете интенсивных процессов нагрева, которые характеризуются повышенными значениями величин $S_x / \sqrt{\text{Re}_x}$ и $|1 - \theta_*|$, минимизация выражения (7) достигается разбиением всего диапазона $|1 - \theta_*|$ на ряд отрезков, в каждом из которых принимается $p_i = 4\theta_i^3$. Как показано в [4], подобный подход к решению задач радиационного прогрева позволяет при

весьма небольшом числе разбиений (два-четыре) получать погрешность, нигде не превышающую 4–5 %. Там же даны рекомендации по выбору числа отрезков в зависимости от диапазона изменения температуры и радиационного критерия, проанализирована погрешность и приведен пример численного расчета.

Имеется несколько способов решения линейной задачи (6) – (9) при $F(x, Y) = 0$. Например, В. Г. Левичем [5] используется прием, приводящий исходную систему к случаю нестационарной теплопроводности с переменными коэффициентами, который затем анализируется при помощи приближенных методов. Более простой подход к линейной задаче такого типа описан в [6]. Решение [6], полученное в приближении локальной автомодельности, дает возможность представить зависимость $W = W(x, Y)$ в замкнутом виде

$$\frac{W_\infty - W}{W_\infty} = \left[\left(1 + 0.332 \frac{\Pr^{1/4} \operatorname{Re}_x^{1/2}}{pS_x} \right) \times \right. \\ \left. \times \int_0^\infty [\varphi''(\eta)]^p d\eta \right]^{-1} \int_0^\infty [\varphi''(\eta)]^p d\eta \quad (11)$$



Фиг. 1

Таким образом, распределение температуры в пограничном слое $\theta = \theta(x, Y)$ найдется на основе решения (11) и преобразования (5), номограммированного в [4].

На фиг. 1 показаны профили температур в ламинарном пограничном слое ($\Pr = 1$, $\theta_* = 1.4$), вычисленные при помощи уравнений (11), (10) и (5) для значений критерия $S_x/\sqrt{\operatorname{Re}_x}$, равных 0.05, 0.1, 0.2 (кривые 1–3 соответственно). Через η обозначена величина $Y/\operatorname{Re}_x/x$.

Основная погрешность предлагаемого метода расчета вызывается преубеждением нелинейным комплексом (7) после его минимизации. При проведении двухсторонних оценок значений $F(x, Y)$ будем исходить из того, что наибольшая абсолютная величина выражения (7) имеет место, когда диапазон изменения температуры $\theta(x, Y)$ (от 1 до θ_*) не разбивается на интервалы, и параметр p определяется по формуле (10). Так как $0 \leq W(x, Y) \leq W_\infty$, а

$$\left(\frac{\partial \theta / \partial Y}{\theta_*^4 - \theta^4} \right)^2 = \begin{cases} 0 & Y \rightarrow \infty \\ (S_x/\sqrt{\operatorname{Re}_x})^2 & Y = 0 \end{cases}$$

получим

$$F(x, \infty) = 0 \\ F(x, 0) = 4pW_\infty (S_x/\sqrt{\operatorname{Re}_x})^2 \left[\theta^3 - \left(\frac{1 + \theta_*}{2} \right)^3 \right]$$

Если учесть, что $1 \leq \theta(x, Y) \leq \theta_*$, то минимальное и максимальное значения $F(x, 0)$ будут иметь вид

$$F_{\min} = 4pW_\infty (S_x/\sqrt{\operatorname{Re}_x})^2 \left[1 - \left(\frac{1 + \theta_*}{2} \right)^3 \right] < 0$$

$$F_{\max} = 4pW_\infty (S_x/\sqrt{\operatorname{Re}_x})^2 \left[\theta_*^3 - \left(\frac{1 + \theta_*}{2} \right)^3 \right] > 0$$

Полученные двухсторонние оценки для величины нелинейного комплекса (7) дают возможность выявить ее зависимость от основных параметров процесса нагрева: критерия $S_x / \sqrt{Re_x}$ и диапазона изменения искомой температуры $|1 - \theta_*|$. Так, с уменьшением $S_x / \sqrt{Re_x}$ абсолютные значения минимальной F_{\min} и максимальной F_{\max} величин (7) быстро уменьшаются (эти зависимости выражаются достаточно сильно квадратичной функцией). Уменьшение диапазона $|1 - \theta_*|$ ($\theta_* \rightarrow 1$) также приводит к тому, что $F_{\min}, F_{\max} \rightarrow 0$. Благодаря этому с уменьшением $S_x / \sqrt{Re_x}$ и $|1 - \theta_*|$ нелинейный комплекс $F(x, Y)$ убывает, и точность вычисления искомой температуры $\theta(x, Y)$ увеличивается.

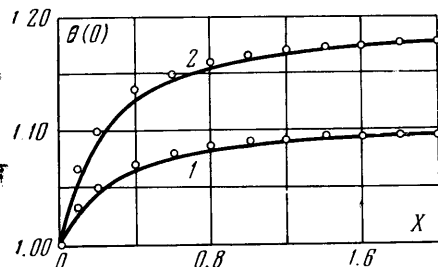
Если в выражении (11) принять $\eta = 0$, получим уравнение для определения температуры поверхности пластины

$$Z_w = \frac{1}{p} \ln \left(1 + \frac{p S_x}{0.332 \Pr^{1/3} Re_x^{1/2}} \right) + Z_\infty \quad (12)$$

На фиг. 2 сопоставлены значения поверхностных температур $\theta(0)$, найденные на основе соотношений (5), (10) и (12), при $\theta_* = 1.107$ и 1.189 (кривые 1 и 2 соответственно) с численными данными Спэрроу и Лина [2]. Абсцисса графика — обобщенная координата $X = (0.332 \Pr^{1/3} \cdot Re_x^{1/2})^{-1} S_x$.

Как следует из сравнения, расходжение не превышает одного процента во всем диапазоне изменения переменной X . Если же область изменения температуры θ (от 1 до θ_*) разбить на два интервала, результаты обоих методов практически совпадут.

В заключение отметим, что изложенные методом можно решать и нелинейные задачи переноса, когда уравнение энергии системы (1) содержит диссипативные члены. В этом случае искомое распределение температур следует представить как сумму двух решений. Первое — интеграл неоднородного уравнения с линейным граничным условием на поверхности $\partial\theta / \partial\eta = 0$ (задача о теплоизолированной стенке [7]). Второе — решение системы (2)–(4), которое может быть определено описанным выше способом.



Фиг. 2

В заключение отметим, что изложенные методом можно решать и нелинейные задачи переноса, когда уравнение энергии системы (1) содержит диссипативные члены. В этом случае искомое распределение температур следует представить как сумму двух решений. Первое — интеграл неоднородного уравнения с линейным граничным условием на поверхности $\partial\theta / \partial\eta = 0$ (задача о теплоизолированной стенке [7]). Второе — решение системы (2)–(4), которое может быть определено описанным выше способом.

Поступило 8 IV 1971

ЛИТЕРАТУРА

- Сесс Р. Д. Теплообмен при совместном действии теплового излучения и теплопроводности или конвекции. Сб. «Современные проблемы теплообмена», М., «Энергия», 1966.
- Sparrow E. M., Lin S. H. Boundary layers with prescribed heat flux-application to simultaneous convection and radiation. Internat. J. Heat. Mass Transfer, 1965, vol. 8, No. 3.
- Иванов В. В. Исследование переноса тепла в условиях нелинейной теплопроводности. Изв. АН СССР, Энергетика и транспорт, 1966, № 4.
- Иванов В. В., Фурман А. В. Теплопроводность твердых тел, прогреваемых радиацией. Теплофизика высоких температур, 1967, № 2.
- Левич В. Г. Физико-химическая гидродинамика. М., Физматгиз, 1959.
- Кузнецов В. И. Теплообмен плоской пластины, обтекаемой ламинарным потоком нагретой жидкости. Инж.-физ. ж., 1965, т. 9, № 2.
- Шлихти Г. Теория пограничного слоя. М., «Наука», 1969.